

# 1. Univerzalitási osztályok

Eddig nem tárgyaltuk az egyik lényeges szimmetria tulajdonságot, az időtükrözési szimmetriát. Az időtükröző  $T$  operátor hatása:

$$Tf(t) = f(-t). \quad (1.1)$$

Az időfüggő Schrödinger-egyenletben a  $\partial/\partial t$  előjelet vált az időtükrözés során, amit kompenzálhatunk az  $i \rightarrow -i$  helyettesítéssel. Így ez az alábbi kommutációs relációval fejezhető ki:

$$\left[CT, i\hbar \frac{\partial}{\partial t}\right] = 0, \quad (1.2)$$

ahol  $C$  a konjugáló operátor ( $CA = A^*$ ). A kérdés, hogy  $\mathcal{H}$  mikor kommutál  $CT$ -vel. Tegyük fel, hogy a vizsgált rendszer konzervatív, ekkor  $\mathcal{H}$  kommutál  $T$ -vel. Így elég csak  $\mathcal{H}$ -nak  $C$ -vel vett kommutációs viszonyát vizsgálni. Három eset lehetséges, amely az univerzalitási osztály koncepciójához vezet.

- Vizsgáljuk a következő Hamiltonit

$$\mathcal{H} = \frac{1}{2m} \left( \vec{p} - \frac{e}{c} \vec{A} \right)^2 + V(x). \quad (1.3)$$

Mivel  $\vec{p} = (i/\hbar)\nabla$  komplex operátor,  $\mathcal{H}$  nem kommutál  $C$ -vel, vagyis sérül az időtükrözési szimmetriája a rendszernek. Ekkor  $\mathcal{H}$  nem reprezentálható valós mátrixsal. A Hamiltoni hermitikus tulajdonságát megtartja a

$$H' = UHU^\dagger \quad (1.4)$$

transzformáció, ahol  $U$  unitér,  $UU^\dagger = 1$ .

- Most azt az esetet vizsgáljuk, amikor van időtükrözési szimmetria, de nincs spin-pálya kölcsönhatás. Egy ilyen rendszer Hamiltonija

$$\mathcal{H} = \frac{p^2}{2m} + V(x). \quad (1.5)$$

Ekkor  $\mathcal{H}$  kommutál  $C$ -vel. Ezért léteznek a  $\phi_n$  közös sajátfüggvények. Mivel  $C^2 = 1$ , a sajátérték  $\pm 1$ , vagyis

$$C\phi_n = \phi_n^* = \pm \phi_n. \quad (1.6)$$

Tehát  $\phi_n$  csak valós vagy tisztán képzetes lehet. Az általánosság megszorítása nélkül  $\phi_n$  valósnak választható (mivel a bázisfüggvények tetszőlegesen választhatók). Ekkor a Hamiltoni mátrixa szintén valós. Ezt tulajdonságot megtartja a

$$H' = OHO^T \quad (1.7)$$

transzformáció, ahol  $O$  ortogonális mátrix,  $OO^T = 1$ .

- Végül olyan rendszert tanulmányozunk, amelynek Hamiltonija rendelkezik az időtükrözési szimmetriával, és tartalmazza a spin-pálya kölcsönhatást:

$$\mathcal{H}_{SO} = A \vec{L} \vec{S}, \quad (1.8)$$

ahol

$$\vec{L} = \frac{\hbar}{i} \vec{r} \times \vec{\nabla} \quad \text{és} \quad \vec{S} = \frac{\hbar}{2} \vec{\sigma}. \quad (1.9)$$

A Pauli-mátrixok

$$\sigma_x = \begin{pmatrix} 0 & 1 \\ 1 & 0 \end{pmatrix}, \quad \sigma_y = \begin{pmatrix} 0 & -i \\ i & 0 \end{pmatrix}, \quad \sigma_z = \begin{pmatrix} 1 & 0 \\ 0 & -1 \end{pmatrix}, \quad (1.10)$$

kielégítik a

$$[\sigma_i, \sigma_j] = 2\epsilon_{ijk}\sigma_k \quad (i, j, k = \{x, y, z\}) \quad (1.11)$$

kommutációs relációt. Mivel  $\mathcal{H}_{SO}$  komplex mennyiségeket tartalmaz, ezért a teljes Hamiltoni nem kommutál  $C$ -vel. A spin operátor mátrixát a  $\vec{\tau} = i \vec{\sigma}$  kvaterniókkal is kifejezhetjük, amelyekre teljesül, hogy

$$\tau_x^2 = \tau_y^2 = \tau_z^2 = -1 \quad \text{és} \quad \{\tau_i, \tau_j\} = 0. \quad (1.12)$$

Itt  $\{\cdot, \cdot\}$  az antikommutátort jelöli. A kvaterniók a komplex számok négy dimenzióra történő nem-kommutatív kiterjesztései. Ezzel a teljes Hamiltoni

$$\mathcal{H} = \mathcal{H}_0 + \mathcal{H}_x \tau_x + \mathcal{H}_y \tau_y + \mathcal{H}_z \tau_z, \quad (1.13)$$

ahol  $\mathcal{H}_0, \mathcal{H}_x, \mathcal{H}_y, \mathcal{H}_z$  valós operátorok.  $\tau_x$  és  $\tau_z$  azonban képzetes, ezért antikommutál  $C$ -vel. Felhasználva az antikommutációs relációkat, belátható, hogy

$$[C\tau_y, \tau_x] = [C\tau_y, \tau_y] = [C\tau_y, \tau_z] = 0. \quad (1.14)$$

Tehát a teljes Hamiltoni kommutál  $C\tau_y$ -nal. Ha  $\psi_n$  sajátfüggvénye  $\mathcal{H}$ -nak, akkor  $C\tau_y\psi_n$  is sajátfüggvénye ugyanazzal a sajátértékkal. Ez a Kramer-degeneráció, amely minden feles spinű időtükrözési szimmetriával rendszerben megfigyelhető. Ha a sajátfüggvények nem ismertek, akkor hasznos, hogy a  $\phi_n$  és  $\bar{\phi}_n = C\tau_y\phi_n$  párokat válasszuk bázisfüggvényeknek. Ezzel  $\mathcal{H}$  mátrixelemei

$$\mathcal{H}_{nm} = \begin{pmatrix} \langle \bar{\phi}_n | \mathcal{H} | \bar{\phi}_m \rangle & \langle \bar{\phi}_n | \mathcal{H} | \phi_m \rangle \\ \langle \phi_n | \mathcal{H} | \bar{\phi}_m \rangle & \langle \phi_n | \mathcal{H} | \phi_m \rangle \end{pmatrix}. \quad (1.15)$$

A négy mátrixelem azonban nem független. Példaként nézzük a bal felső elemet:

$$\begin{aligned}\langle \bar{\phi}_n | \mathcal{H} | \bar{\phi}_m \rangle &= \int (C\tau_y \phi_n)^\dagger \mathcal{H} (C\tau_y \phi_m) dx = \int (\phi_n^\dagger \tau_y^\dagger)^* \mathcal{H} (\tau_y \phi_m)^* dx \\ &= \left( \int \phi_n^\dagger \tau_y^\dagger \mathcal{H}^* \tau_y \phi_m dx \right) = \left( \int \phi_n^\dagger \mathcal{H} \phi_m dx \right)^* = (\langle \phi_n | \mathcal{H} | \phi_m \rangle)^*,\end{aligned}\quad (1.16)$$

ahol felhasználtuk, hogy  $H^* \tau_y = \tau_y H$  és  $\tau_y^\dagger \tau_y = 1$ . Hasonló módon adódik, hogy

$$\langle \phi_n | \mathcal{H} | \bar{\phi}_m \rangle = -(\langle \bar{\phi}_n | \mathcal{H} | \phi_m \rangle)^*. \quad (1.17)$$

Tehát  $\mathcal{H}$  egy  $N \times N$ -es mátrixszal reprezentálható, ahol minden elem  $2 \times 2$ -es (spin 2 lehetséges beállása miatt):

$$\mathcal{H}_{nm} = (\mathcal{H}_0)_{nm} \mathbb{I}_2 + \vec{\mathcal{H}}_{nm} \vec{\tau}, \quad (1.18)$$

ahol  $(\mathcal{H}_0)_{nm}$  és  $\vec{\mathcal{H}}_{nm}$  komponensei valósak és  $\mathbb{I}_2$  a  $2 \times 2$ -es egységmátrix. Az ilyen tulajdonságú mátrixot hívjuk kvaternió valós mátrixnak. Ismét olyan transzformációt keresünk, amelyre invariánsak a mátrixelemek. Ezek a szimplektikus transzformációk

$$\mathcal{H}' = S \mathcal{H} S^R, \quad (1.19)$$

ahol  $S$  szimplektikus,  $SS^R = 1$ . Itt  $S^R$   $S$  duálisa

$$S^R = Z S^T Z^{-1} = -Z S^T Z, \quad (1.20)$$

ahol  $Z$  mátrixelemei

$$Z_{nm} = \delta_{nm} \tau_y. \quad (1.21)$$

Az univerzalitási osztályok prezentációja ezzel teljes, végeredményben:

- Hamiltoni –időtűkrözési szimmetria nélkül– hermitikus mátrixszal reprezentálható és invariáns az unitér transzformációkra,
- Hamiltoni –időtűkrözési szimmetriával, spin-pálya kölcsönhatás nélkül– valós mátrixszal reprezentálható és invariáns az ortogonális transzformációkra,
- Hamiltoni –időtűkrözési szimmetriával, spin-pálya kölcsönhatással– kvaternió valós mátrixszal reprezentálható és invariáns a szimplektikus transzformációkra.

## 2. Gausszi sokaságok

Feltesszük, hogy a  $H$  mátrix tipikus az adott osztályon (valós szimmetrikus, ill. hermitikus) belül. Ezért tulajdonságait az osztályon felvett mátrix-sokaságon számolt átlagokkal írhatjuk le. Ehhez kell egy valószínűségeloszlás az osztályra, amelyet így veszünk fel:

- a mátrixelemek független eloszlásúak (az önadjungáltság, ill. szimmetrikusság miatti kötöttségen túl),
- az eloszlás invariáns az osztályhoz rendelt transzformációra.

A következő okokból vettük fel így:

- jól egyezik a kísérletekkel,
- az elvi magyarázatot még keressük, de hozzávetőlegesen:
  - a) egy bonyolult, kaotikus rendszer esetén a  $H_{nm}$  mátrixelemekben a rendszer paramétereinek a függvényében gyorsan változó fázisok kombinálódnak, így a mátrixelemek közel függetlenek,
  - b) a statisztika ne változzon a bázis megváltoztatásakor.

Gausszi sokaságok megkonstruálását  $2 \times 2$ -es valós, szimmetrikus mátrixokon illusztráljuk, amelyek kanonikus transzformációjának csoportja  $O(2)$ . Keressük a  $p(H)$  valószínűségi sűrűségfüggvényt a következő normálással:

$$\int_{-\infty}^{\infty} dH_{11} dH_{22} dH_{12} p(H) = 1, \quad (2.1)$$

ahol  $H_{11}$ ,  $H_{22}$ ,  $H_{12}$  a három független mátrixelem. A fentieknek megfelelően két feltétel szükséges  $p(H)$  meghatározásához. Az első, hogy  $p(H)$  invariáns kell legyen a vizsgált osztályt jellemző transzformációra, esetünkben bármilyen ortogonális transzformációra, vagyis

$$p(H) = p(H'), \text{ ha } H' = OHO^T, \quad O^T = O^{-1}. \quad (2.2)$$

A második pedig abból adódik, hogy a mátrixelemek függetlenek, vagyis a valószínűségek szorzhatók, azaz

$$p(H) = p_{11}(H_{11})p_{22}(H_{22})p_{12}(H_{12}). \quad (2.3)$$

Az infinitezimális ortogonális transzformáció mátrixa 2D-ben:

$$O = \begin{pmatrix} 1 & -\epsilon \\ \epsilon & 1 \end{pmatrix}, \quad (2.4)$$

amivel  $H'$  mátrixára kapjuk, hogy

$$H' = OHO^T = \begin{pmatrix} H_{11} - 2\epsilon H_{12} & \epsilon H_{11} + H_{12} - \epsilon H_{22} \\ \epsilon H_{11} + H_{12} - \epsilon H_{22} & H_{22} + 2\epsilon H_{12} \end{pmatrix}. \quad (2.5)$$

Most kihasználjuk, hogy  $p(H) = p(H')$  és a valószínűség faktorizálódik ( $\epsilon$ -ban sorfejtünk lineáris rendig, majd  $\epsilon = 0$ -t veszünk, a ' mindig a saját változó szerinti deriváltra utal)

$$\begin{aligned} -2H_{12} p'_{11}(H_{11}) p_{22}(H_{22}) p_{12}(H_{12}) + 2H_{12} p_{11}(H_{11}) p'_{22}(H_{22}) p_{12}(H_{12}) + \\ + (H_{11} - H_{22}) p_{11}(H_{11}) p_{22}(H_{22}) p'_{12}(H_{12}) = 0, \end{aligned} \quad (2.6)$$

átrendezve

$$\frac{2}{H_{11} - H_{22}} \left( -\frac{p'_{11}(H_{11})}{p_{11}(H_{11})} + \frac{p'_{22}(H_{22})}{p_{22}(H_{22})} \right) = -\frac{1}{H_{12}} \frac{p'_{12}(H_{12})}{p_{12}(H_{12})}. \quad (2.7)$$

Az így kapott egyenlet jobb oldala csak  $H_{12}$  függvénye, míg a bal oldal  $H_{12}$ -től független, vagyis mindkét oldal csak ugyanazzal konstans értékkel lehet állandó, amit a továbbiakban  $-a$ -val jelölünk. A jobb oldal alapján

$$\frac{d}{dH_{12}} \log p_{12}(H_{12}) = aH_{12} \quad \implies \quad p_{12}(H_{12}) = e^{\frac{a}{2}H_{12}^2 + c}. \quad (2.8)$$

A bal oldal alapján pedig

$$\frac{d}{dH_{11}} \log p_{11}(H_{11}) - \frac{d}{dH_{22}} \log p_{22}(H_{22}) = \frac{a}{2}(H_{11} - H_{22}), \quad (2.9)$$

átrendezve

$$\frac{d}{dH_{11}} \log p_{11}(H_{11}) - \frac{a}{2}H_{11} = \frac{d}{dH_{22}} \log p_{22}(H_{22}) - \frac{a}{2}H_{22}. \quad (2.10)$$

Ismét hasonló a helyzet, a bal oldal csak  $H_{11}$  függvénye, a jobb oldal pedig  $H_{22}$  függvénye, vagyis csak ugyanazzal a  $b$  konstanssal egyezhetnek meg

$$\frac{d}{dH_{11}} \log p_{11}(H_{11}) = \frac{a}{2}H_{11} + b \quad \implies \quad p_{11}(H_{11}) = e^{\frac{a}{4}H_{11}^2 + bH_{11} + h}, \quad (2.11)$$

$$\frac{d}{dH_{22}} \log p_{22}(H_{22}) = \frac{a}{2}H_{22} + b \quad \implies \quad p_{22}(H_{22}) = e^{\frac{a}{4}H_{22}^2 + bH_{22} + q}, \quad (2.12)$$

ahol  $h$  és  $q$  az integrációs konstansok. Mindezeket felhasználva

$$p(H) = \exp \left\{ \frac{a}{4} (H_{11}^2 + H_{22}^2 + 2H_{12}^2) + b (H_{11} + H_{22}) + c + h + q \right\} = C e^{-A \text{Tr } H^2 + b \text{Tr } H}, \quad (2.13)$$

ahol  $C$  a normálásból határozható meg. Kikötjük, hogy ez  $E = 0$ -ra legyen szimmetrikus, majd toljuk el az energia nullpontját:  $H_{ii} \rightarrow H_{ii} + g$ . A  $g = b/2A$  választással a  $\text{Tr } H = \sum_i E_i$  eltüntethető. Így végeredményben a következő gausszi valószínűségi sűrűségfüggvényt kaptuk:

$$p(H) = C e^{-A \text{Tr } H^2} = C \prod_i e^{-AH_{ii}^2} \prod_{i < j} e^{-2A|H_{ij}|^2}. \quad (2.14)$$

A valós véletlen mátrixok halmaza, amelynek mátrixelemei kielégítik a (2.14) eloszlást, határozzák meg a gausszi ortogonális sokaságot (GOE). Ez az eredmény érvényben marad az unitér (GUE), és a szimplektikus (GSE) esetben, továbbá tetszőleges méretű véletlen mátrixra is. Ez utóbbi állítás a két dimenziós esetből könnyen kikövetkeztethető. Vizsgáljuk az  $n = 3$  esetet példaként.  $OH O^T$  transzformáció csak két dimenziós altérben forgat. A (2.7) egyenlet kiegészül a

$$+H_{13} \frac{p'_{23}}{p_{23}} - H_{23} \frac{p'_{13}}{p_{13}}$$

tagokkal. Ezek összege csak  $H_{13}$  és  $H_{23}$  függvénye, míg a többi tag ezektől független. Vagyis ez a rész konstans. Az erre vonatkozó egyenleteket megoldva, kiderül, hogy a konstans értéke nulla. Vagyis visszakaptuk az eredeti egyenleteket. Így az eljárás kiterjeszthető tetszőleges  $n \geq 2$  dimenzióra.

### 3. Sajátenergiák együttes eloszlása

A (2.14) eloszlás alapján a  $H$  sajátértékeire redukált eloszlások is kiszámolhatók. Ehhez szükséges, hogy a  $H_{ij}$  elemeket, mint független változókat, lecseréljük egy másik azonos dimenziójú halmazra, amelynek alhalmazát képezik a sajátértékek. A megmaradó változók (amelyekre majd kiintegrálunk) parametrizálják a transzformációt, amellyel  $H$  diagonalizálható.

Az eljárást először a legegyszerűbb esetben, a  $2 \times 2$ -es valós, szimmetrikus mátrixokon mutatjuk meg. A két sajátérték

$$E_{\pm} = \frac{1}{2}(H_{11} + H_{22}) \pm \frac{1}{2}[(H_{11} - H_{22})^2 + 4H_{12}]^{1/2}. \quad (3.1)$$

A  $H$ -t diagonalizáló ortogonális transzformáció

$$O = \begin{pmatrix} \cos \theta & -\sin \theta \\ \sin \theta & \cos \theta \end{pmatrix}, \quad (3.2)$$

amivel

$$H = O \begin{pmatrix} E_+ & 0 \\ 0 & E_- \end{pmatrix} O^T = \begin{pmatrix} E_+ \cos^2 \theta + E_- \sin^2 \theta & (E_+ - E_-) \cos \theta \sin \theta \\ (E_+ - E_-) \cos \theta \sin \theta & E_+ \sin^2 \theta + E_- \cos^2 \theta \end{pmatrix}. \quad (3.3)$$

A transzformáció Jacobi-mátrixa

$$J = \det \frac{\partial(H_{11}, H_{22}, H_{12})}{\partial(E_+, E_-, \theta)} = E_+ - E_-, \quad (3.4)$$

amivel felírható a sajátenergiák együttes valószínűségi sűrűsége ( $\theta$  szögre kiintegráltunk)

$$p(E_+, E_-) = C |E_+ - E_-| e^{-A(E_+^2 + E_-^2)}. \quad (3.5)$$

Az előbbieket könnyen általánosíthatók  $N \times N$ -es valós, szimmetrikus  $H$  mátrixokra. A  $H$  mátrixot diagonalizáló ortogonális transzformáció

$$H = O H_D O^T, \text{ vagy indexesen } H_{nm} = \sum_k O_{nk} E_k O_{mk}, \quad (3.6)$$

ahol  $(H_D)_{kl} = E_k \delta_{kl}$  a diagonális mátrix. Könnyen látható, hogy az  $O$  ortogonális mátrixnak  $N(N-1)/2$  független  $\theta_l$  változója van. Ugyanis egy  $N$  hosszúságú egységvektornak  $N-1$  független eleme van (normálás miatt), a másodiknak így már csak  $N-2$  független eleme lehet (mivel merőleges az előzőre), és így tovább. Tehát a független változók száma:  $(N-1) + (N-2) + \dots + 1 = N(N-1)/2$ . Figyelembe véve még az  $N$  db  $E_n$  sajátenergiát,

visszakapjuk, hogy a  $H$  mátrixnak  $N(N+1)/2$  független eleme van (az átlóbeli és a felette levő elemek száma). Legyen  $\alpha = \{\theta_1, \theta_2, \dots, \theta_{N(N-1)/2}\}$ ,  $h_D = \{E_1, E_2, \dots, E_N\}$  és  $h = \{H_1, H_2, \dots, H_{NN}, H_{12}, H_{13}, \dots, H_{N-1,N}\}$ . Az együttes eloszlás az új változókkal

$$p(h) dh \sim e^{-A \sum_k E_k^2} |J| dh_D d\alpha, \quad (3.7)$$

ahol felhasználtuk, hogy

$$\text{Tr } H^2 = \text{Tr } (ODO^T ODO^T) = \text{Tr } D^2 = \sum_k E_k^2. \quad (3.8)$$

Még ki kell számolnunk a transzformáció Jacobi determinánsát

$$|J| = \left| \frac{\partial h}{\partial(h_D, \alpha)} \right|. \quad (3.9)$$

Ehhez deriváljuk  $E_k$  és  $\theta_l$  szerint a (3.6) egyenletet

$$\frac{\partial H}{\partial E_k} = O \frac{\partial H_D}{\partial E_k} O^T, \quad (3.10)$$

és

$$\frac{\partial H}{\partial \theta_l} = \frac{\partial O}{\partial \theta_l} H_D O^T + O H_D \frac{\partial O^T}{\partial \theta_l} = O(S^{(l)} H_D - H_D S^{(l)}) O^T, \quad (3.11)$$

ahol bevezettük az  $S$  mátrixot

$$S^{(l)} = O^T \frac{\partial O}{\partial \theta_l} = -\frac{\partial O^T}{\partial \theta_l} O. \quad (3.12)$$

Az  $S$  mátrix antiszimmetriája könnyen látható, ha felhasználjuk, hogy  $OO^T = 1$  és  $H_D$ -t fixen az egységmátrixnak választjuk. Számoljuk ki a mátrixelemeket:

$$\left( \frac{\partial H}{\partial E_k} \right)_{ij} = \left( O \frac{\partial H_D}{\partial E_k} O^T \right)_{ij} = O_{im} \delta_{mk} \delta_{nj} O_{nj}^T = O_{ik} O_{jk}, \quad (3.13)$$

és

$$\begin{aligned} \left( \frac{\partial H}{\partial \theta_l} \right)_{ij} &= \sum_{m,n} O_{in} (S_{nm}^{(l)} E_m - E_n S_{nm}^{(l)}) O_{mj}^T = \\ &= \sum_{n < m} O_{in} S_{nm}^{(l)} (E_m - E_n) O_{jm} + (n \leftrightarrow m \text{ csere}) = \\ &= \sum_{n < m} (O_{in} O_{jm} + O_{im} O_{jn}) S_{nm}^{(l)} (E_m - E_n). \end{aligned} \quad (3.14)$$

Tehát a Jacobi mátrix felírható két  $\frac{1}{2}N(N+1) \times \frac{1}{2}N(N+1)$ -es mátrix szorzataként:

$$J_{nm,ka} = \sum_{i,j} \hat{O}_{nm,ij} M_{ij,ka}, \quad (3.15)$$



ahol

$$\hat{O}_{nm,ij} = O_{ni}O_{mj}, \quad (3.16)$$

és

$$M = \begin{pmatrix} \delta_{ij} & 0 \\ 0 & S_{ij}^{(l)}(E_j - E_i) \end{pmatrix}. \quad (3.17)$$

A sorrend az oszlopokban: először az  $N$  db  $H_{ii}$  jön, amit  $\frac{1}{2}N(N-1)$  db  $H_{ij}$  követ ( $i > j$ ). A sorokban pedig az  $N$  db  $E_k$  sajátértéket az  $\frac{1}{2}N(N-1)$  db  $\theta_l$  követ. A fentiek alapján már számolható a Jacobi determináns:

$$|J| = |\hat{O}| \cdot |M| = |\hat{O}| \cdot |S| \prod_{m>n} (E_m - E_n) = f(\alpha) \prod_{m>n} (E_m - E_n), \quad (3.18)$$

ahol  $S$   $\frac{1}{2}N(N+1) \times \frac{1}{2}N(N+1)$ -es méretű mátrix, melynek elemei:  $S_{ij}^{(l)}$ . A szögekre való kiintegrálás után kapjuk, hogy

$$p(E_1, \dots, E_n) = C \prod_{n>m} (E_n - E_m) e^{-A \sum_k E_k^2}. \quad (3.19)$$

Mindhárom univerzalitási osztályra érvényes eredmény összefoglalható az alábbi formulával:

$$p(E_1, \dots, E_n) = C \prod_{n>m} (E_n - E_m)^\beta e^{-A \sum_k E_k^2},$$

$(3.20)$

GOE esetén  $\beta = 1$ ,

GUE esetén  $\beta = 2$ ,

GSE esetén  $\beta = 4$ .

## 4. Állapotsűrűség meghatározása

Két módszert ismertetünk az állapotsűrűség számolására. Elsőként az együttes eloszlásból határozzuk meg az állapotsűrűséget Coulomb-gáz módszerrel, majd a Green-függvényes technikát mutatjuk be, amely csak az alapelveket használja fel.

### 4.1. Coulomb-gáz módszer

A sajátértékek együttes eloszlása felfogható egy 2D-s töltött részecskékből álló gáz Boltzmann-faktorként. A potenciális energiát minimalizálva kapjuk a Coulomb-gáz egyensúlyi sűrűségét, és ez a sűrűség azonosítható a megfelelő gausszi-sokaság állapotsűrűségével.

A (3.20) eloszlás a következőképpen is írható:

$$p(E_1, \dots, E_n) = C e^{-\frac{W}{kT}}, \quad (4.1)$$

ahol

$$W(E_1, \dots, E_n) = kTA \sum_k E_k^2 - kT \sum_{i>j} \beta \log |E_i - E_j|. \quad (4.2)$$

Vizsgáljunk egy  $N$  pontszerű töltésből álló gázt. A töltések koordinátái  $x_1, x_2, \dots, x_n$ , és szabadon mozoghatnak az  $-\infty < x < \infty$  egyenes mentén. A rendszer potenciális energiája

$$V = \frac{1}{2} \sum_i x_i^2 - \sum_{i>j} \log |x_i - x_j|, \quad (4.3)$$

ahol az első tag egy harmonikus potenciált reprezentál, a második pedig az elektrosztatikus taszítást a töltések között (2D). Tegyük fel, hogy a gáz termodinamikai egyensúlyban van  $T$  hőmérsékleten. Így a koordináták együttes eloszlása

$$p(x_1, x_2, \dots, x_n) = C e^{-V/kT}, \quad (4.4)$$

ahol  $k$  a Boltzmann-állandó. Az  $E_k$  energiákat az  $x_k$  koordinátáknak megfelelően látható az analógia a töltött részecskékből álló 2D-s gázzal.

Legyen  $a = kTA$  és  $b = kT\beta$ . A potenciális energiát az alábbi integrállal közelítjük

$$W \approx a \int_{-\infty}^{\infty} x^2 \rho(x) dx - \frac{b}{2} \int_{-\infty}^{\infty} \int_{-\infty}^{\infty} \log |x - y| \rho(x) \rho(y) dx dy, \quad (4.5)$$

ahol a  $\rho(x) \geq 0$  állapotsűrűségre teljesül, hogy

$$\int_{-\infty}^{\infty} \rho(x) dx = N, \quad (4.6)$$

$$\int_{-\infty}^{\infty} x^2 \rho(x) dx = \sum_k E_k^2. \quad (4.7)$$

$\rho(x)$  függvényt varációsan határozzuk meg, ehhez a (4.6) mellékfeltétel mellett ( $\lambda$  Lagrange-multiplikátorral vesszük figyelembe) kell megkeresnünk  $W$  minimumát. Vagyis:

$$\frac{\delta}{\delta \rho(x)} \left[ W - \lambda \int_{-\infty}^{\infty} \rho(x') dx' \right] = 0 \quad (4.8)$$

A számolás során felhasználjuk az alábbi szabályt:

$$\frac{\delta \rho(x')}{\delta \rho(x)} = \delta(x - x'). \quad (4.9)$$

Ezzel a (4.8) egyenlet bal oldala:

$$\frac{\delta}{\delta \rho(x)} \left[ a \int_{-\infty}^{\infty} x'^2 \rho(x') dx' - \frac{b}{2} \int_{-\infty}^{\infty} \int_{-\infty}^{\infty} \log |x' - y| \rho(x') \rho(y) dx' dy - \lambda \int_{-\infty}^{\infty} \rho(x') dx' \right]. \quad (4.10)$$

Az első tagra elvégezve a variálást:

$$a \int_{-\infty}^{\infty} x'^2 \delta(x - x') dx' = ax^2, \quad (4.11)$$

a második tagra:

$$\begin{aligned} & -\frac{b}{2} \int_{-\infty}^{\infty} \int_{-\infty}^{\infty} \log |x' - y| \delta(x - x') \rho(y) dx' dy - \\ & -\frac{b}{2} \int_{-\infty}^{\infty} \int_{-\infty}^{\infty} \log |x' - y| \delta(x - y) \rho(x') dx' dy = \%. \end{aligned} \quad (4.12)$$

A kifejezés második tagjában  $x' \leftrightarrow y$  cserét elvégezve, adódik, hogy

$$\% = -b \int_{-\infty}^{\infty} \log |x - y| \rho(y) dy. \quad (4.13)$$

Az utolsó, harmadik tag variálása pedig a  $-\lambda$  eredményt adja. Így végül:

$$ax^2 - b \int_{-\infty}^{\infty} \log |x - y| \rho(y) dy - \lambda = 0, \quad (4.14)$$

amiből  $x$  szerinti deriválással

$$x = \frac{b}{2a} \int_{-\infty}^{\infty} \frac{\rho(y)}{x - y} dy. \quad (4.15)$$

Az egyenletet kielégítő állapotsűrűség alakját levezetés nélkül közöljük. Legyen  $b/2a = 1$ , ekkor

$$\rho(x) = \begin{cases} \frac{1}{\pi} \sqrt{2N - x^2} & \text{ha } |x| < \sqrt{2N}, \\ 0 & \text{ha } |x| > \sqrt{2N}. \end{cases} \quad (4.16)$$

Ez a Wigner-féle félkör szabály.

## 4.2. Green-függvényes eljárás

Az állapotsűrűség definíció szerint

$$\rho(E) = \sum_n \delta(E - E_n). \quad (4.17)$$

Ezt szeretnénk más alakban felírni. Ehhez a Dirac-delta függvényt a Lorentz-görbe határértékeként írjuk fel:

$$\delta(E) = \lim_{\epsilon \rightarrow 0} \frac{\epsilon}{\pi} \frac{1}{E^2 + \epsilon^2}. \quad (4.18)$$

Ezzel az állapotsűrűség

$$\rho(E) = \lim_{\epsilon \rightarrow 0} \frac{\epsilon}{\pi} \sum_n \frac{1}{(E - E_n)^2 + \epsilon^2} = -\lim_{\epsilon \rightarrow 0} \frac{1}{\pi} \text{Im} \left( \sum_n \frac{1}{E - E_n + i\epsilon} \right). \quad (4.19)$$

Felhasználva, hogy

$$\sum_n \frac{1}{E - E_n} = \text{Tr} \left( \frac{1}{E - H} \right), \quad (4.20)$$

az állapotsűrűség felírható, mint

$$\rho(E) = -\frac{1}{\pi} \text{Im} \left[ \text{Tr} \left( \frac{1}{E - H} \right) \right]. \quad (4.21)$$

Az utolsó egyenletben az  $\epsilon \rightarrow 0$  limeszt már nem írtuk ki, amikor ilyen kifejezést látunk a későbbiekben, akkor értelem szerint figyelembe kell venni. Az állapotsűrűség így kapcsolatba hozható a Green-függvénnyel (koordináta-rep.)

$$\mathcal{G}(q_A, q_B, E) = \sum_n \frac{\psi_n^*(q_A) \psi_n(q_B)}{E - E_n} = \sum_n \psi_n^*(q_A) \frac{1}{E - H} \psi_n(q_B), \quad (4.22)$$

ahol  $\psi_n(q)$ -k a  $H$  sajátfüggvényei,  $E_n$  sajátértékekkel. Felhasználva, hogy

$$\sum_n \psi_n^*(q_A) \psi_n(q_B) = \delta(q_A - q_B) = \int \delta(q_A - q) \delta(q_B - q) dq, \quad (4.23)$$

a Green-függvény felírható, mint

$$\mathcal{G}(q_A, q_B, E) = \int \delta(q_A - q) \frac{1}{E - H} \delta(q_B - q) dq = \left\langle q_A \left| \frac{1}{E - H} \right| q_B \right\rangle, \quad (4.24)$$

ahol kihasználtuk, hogy a Dirac-delta a sajátfüggvénye a koordináta-operátornak. Innen pedig

$$\rho(E) = -\frac{1}{\pi} \text{Im} (\text{Tr } \mathcal{G}). \quad (4.25)$$

Vagyis az alábbi mennyiséget kell kiszámolnunk:

$$S = \left\langle \text{Tr} \left( \frac{1}{E - H} \right) \right\rangle = \sum_{n=0}^{\infty} \frac{\langle \text{Tr} H^n \rangle}{E^{n+1}}. \quad (4.26)$$

Ez a Taylor-sor csak akkor konvergens, ha  $|E| > \max |E_k| \forall k$  sajátértékre. De az állapotsűrűség számolása során a sajátértékek tartományában vagyunk, azaz divergál a fenti sor. A problémát úgy oldjuk meg, hogy előbb elfelejtkezve erről a gondról, kiszámoljuk  $S$ -et, majd megszerkesztjük a megoldás analitikus folytatását a divergens tartományban.

A (2.14) eloszlásból látható, hogy

$$\langle H_{ij}^2 \rangle = \langle H_{ij} H_{ji} \rangle = \begin{cases} i = j & \longrightarrow \frac{1}{2A} \\ i \neq j & \begin{cases} \text{GOE} \longrightarrow \frac{1}{4A} \\ \text{GUE} \longrightarrow \frac{1}{2A} \end{cases} \end{cases}, \quad (4.27)$$

viszont

$$H_{\alpha\beta} H_{\gamma\delta} = 0 \quad \text{ha } (\alpha, \beta) \neq (\gamma, \delta). \quad (4.28)$$

A (4.27) egyenletből

$$\langle \text{Tr} H^2 \rangle = \sum_{\alpha, \beta} \langle |H_{\alpha\beta}|^2 \rangle = \frac{N^2}{2A}, \quad (4.29)$$

szimmetria alapján látható, hogy

$$\langle \text{Tr} H^{2n+1} \rangle = 0. \quad (4.30)$$

Az első nem triviális eset az  $n = 4$ ,

$$\langle \text{Tr} H^4 \rangle = \left\langle \sum_{\alpha, \beta, \gamma, \delta} H_{\alpha\beta} H_{\beta\gamma} H_{\gamma\delta} H_{\delta\alpha} \right\rangle. \quad (4.31)$$

Ehhez a  $H_{\alpha\beta} = H_{\beta\alpha}$  párok adnak járulékot. Bevezetjük a  $\overline{H_{\alpha\beta} H_{\gamma\delta}}$  jelölést, amely arra utal, hogy csak az  $(\alpha, \beta) = (\gamma, \delta)$  párokat kell figyelembe venni az összegzés során. Így 4 tag marad:

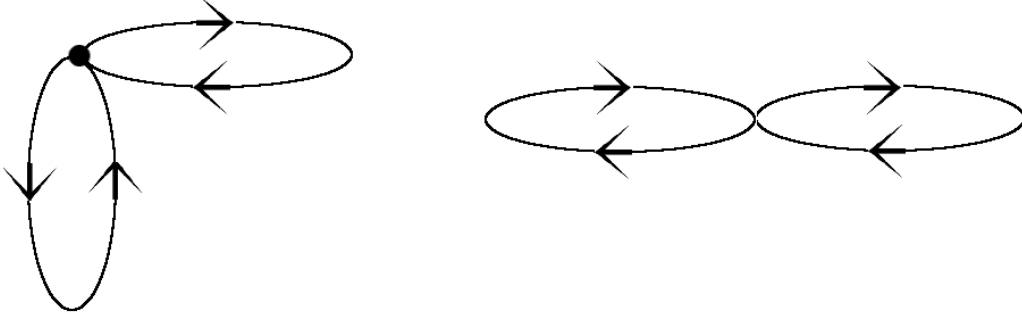
$$\left\langle \sum_{\alpha, \beta, \gamma, \delta} \overline{H_{\alpha\beta} H_{\beta\gamma}} \overline{H_{\gamma\delta} H_{\delta\alpha}} \right\rangle = \left\langle \sum_{\alpha, \beta, \delta} H_{\alpha\beta} H_{\beta\alpha} H_{\alpha\delta} H_{\delta\alpha} \right\rangle = \mathcal{O}(N^3), \quad (4.32)$$

$$\left\langle \sum_{\alpha, \beta, \gamma, \delta} \overline{H_{\alpha\beta} H_{\beta\gamma} H_{\gamma\delta}} H_{\delta\alpha} \right\rangle = \left\langle \sum_{\alpha, \beta, \gamma} H_{\alpha\beta} H_{\beta\gamma} H_{\gamma\beta} H_{\beta\alpha} \right\rangle = \mathcal{O}(N^3), \quad (4.33)$$

$$\left\langle \sum_{\alpha, \beta, \gamma, \delta} H_{\alpha\beta} \overline{H_{\beta\gamma} H_{\gamma\delta} H_{\delta\alpha}} \right\rangle = \left\langle \sum_{\alpha, \beta} H_{\alpha\beta} \overline{H_{\beta\beta} H_{\beta\alpha} H_{\alpha\alpha}} \right\rangle = \left\langle \sum_{\alpha} H_{\alpha\alpha}^4 \right\rangle = \mathcal{O}(N), \quad (4.34)$$

$$\left\langle \sum_{\alpha, \beta, \gamma, \delta} \overbrace{H_{\alpha\beta} H_{\beta\gamma} H_{\gamma\delta} H_{\delta\alpha}} \right\rangle = \left\langle \sum_{\alpha, \beta} |H_{\alpha\beta}|^4 \right\rangle = \mathcal{O}(N^2). \quad (4.35)$$

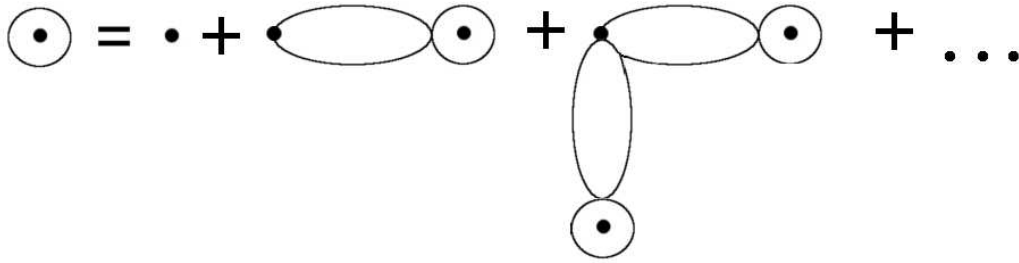
Jól látszik, hogy a nagy  $N$ -ek limeszében az első két tag a domináns. A két tagot az alábbi gráfokkal reprezentálhatjuk:



A jobb oldali gráf 1 ágú, míg a bal oldalin 2 ág különböztethető meg. A gráfokat csoportosíthatjuk az ágak szerint. Jelöljük az összes gráf járulékát  $g$ -vel, ill. grafikusan egy körrel, aminek a közepén egy pont van. Ezzel  $S = Ng/E$ . Tetszőleges alacsonyabb rendű gráfhoz egy buborékot rendelünk. Egy buborék járuléka

$$b = \frac{N}{2AE^2}. \quad (4.36)$$

Így  $g$ -re egy mértani sort kapunk



$$g = 1 + bg + b^2 g^2 + \dots, \quad (4.37)$$

amit felösszegezve

$$g = \frac{1}{1 - bg}. \quad (4.38)$$

Innen

$$S(E) = \frac{NE}{g} = EA \left( 1 \pm \sqrt{1 - \frac{2N}{AE^2}} \right). \quad (4.39)$$

$E \rightarrow \infty$  esetén  $S \rightarrow 0$ , ebből következik, hogy a negatív előjel a helyes. Tehát

$$\langle \rho(E) \rangle = -\frac{1}{\pi} \text{Im} \left[ \lim_{\epsilon \rightarrow 0} S(E + i\epsilon) \right] = \begin{cases} \frac{A}{\pi} \sqrt{\frac{2N}{A} - E^2} & \text{ha } |E| < \frac{\sqrt{2N}}{A}, \\ 0 & \text{ha } |E| > \frac{\sqrt{2N}}{A}. \end{cases} \quad (4.40)$$

$E \rightarrow 0$  limeszben

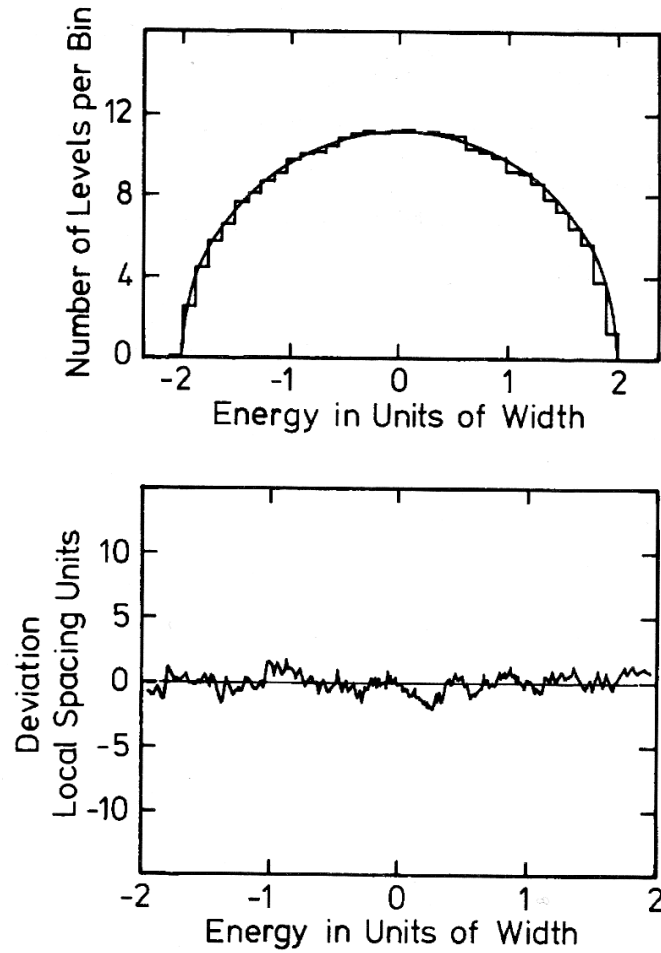
$$\langle \rho(E \rightarrow 0) \rangle = \frac{\sqrt{2NA}}{\pi}. \quad (4.41)$$

Általában ezt a mennyiséget szoktuk egyre normálni, ezért

$$A = \frac{\pi^2}{2N}, \quad (4.42)$$

$$\langle \rho(E) \rangle = \begin{cases} \sqrt{1 - \left(\frac{\pi E}{2N}\right)^2} & \text{ha } |E| < \frac{2N}{\pi}, \\ 0 & \text{ha } |E| > \frac{2N}{\pi}. \end{cases} \quad (4.43)$$

Minden gausszi sokaságra hasonló félkör szabály vezethető le. A 4.1. ábrán egy numerikus példa látható a GOE esetről.



4.1. ábra. Az állapotsűrűség egy 50 mátrixból (a rang 294) álló GOE sokaságra (felső ábra), és az eltérés a Wigner-féle félkör szabálytól (alsó ábra)

## 5. Szinttávolság statisztika

A legközelebbi energiaszintek távolságának eloszlását akarjuk meghatározni. A számolást  $2 \times 2$  mátrixok gausszi sokaságán mutatjuk be. A szinttávolság eloszlása

$$\begin{aligned} p(s) &= \int_{-\infty}^{\infty} dE_1 \int_{-\infty}^{\infty} dE_2 p(E_1, E_2) \delta(s - |E_1 - E_2|) = \\ &= C \int_{-\infty}^{\infty} dE_1 \int_{-\infty}^{\infty} dE_2 |E_1 - E_2|^\beta e^{-A \sum_n E_n^2} \delta(s - |E_1 - E_2|). \end{aligned} \quad (5.1)$$

Az  $A$  és  $C$  konstansok a normálási feltételekből határozhatók meg:

$$\int_0^\infty p(s) ds = 1, \quad (5.2)$$

$$\int_0^\infty s p(s) ds = 1. \quad (5.3)$$

Az integrálokat elvégezve kapjuk az ún. Wigner-eloszlásokat:

$$p(s) = \begin{cases} \frac{\pi}{2} s \exp\left(-\frac{\pi}{4} s^2\right) & \text{ha } \beta = 1 \text{ (GOE)} \\ \frac{32}{\pi^2} s^2 \exp\left(-\frac{4}{\pi} s^2\right) & \text{ha } \beta = 2 \text{ (GUE)} \\ \frac{2^{18}}{3^6 \pi^3} s^4 \exp\left(-\frac{64}{9\pi} s^2\right) & \text{ha } \beta = 4 \text{ (GSE)} \end{cases}. \quad (5.4)$$

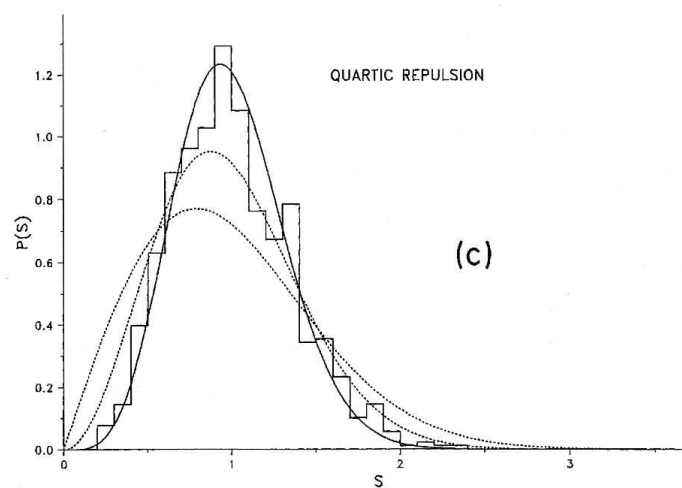
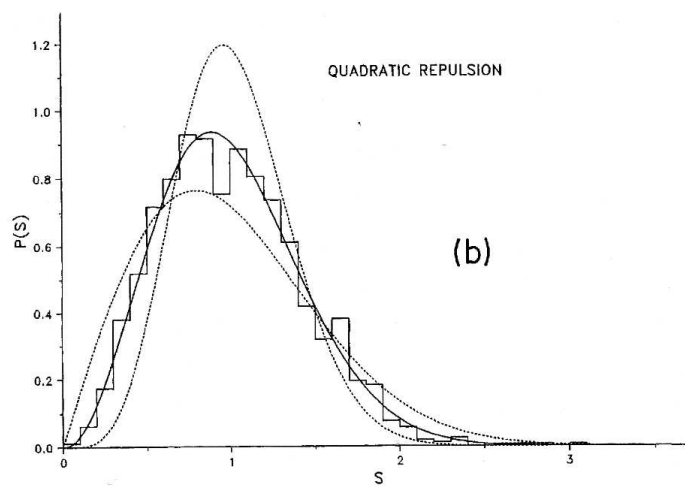
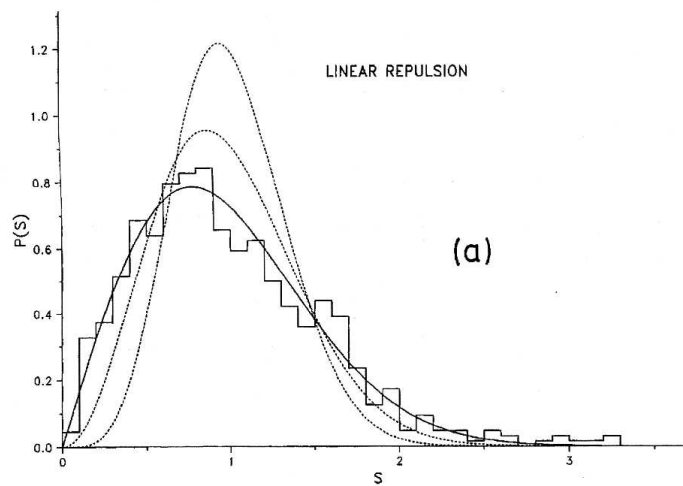
Bár a levezetés a  $2 \times 2$ -es esetre vonatkozott, a kapott eredmény a magasabb rangú mátrixokból álló sokaság szinttávolság statisztikáját is jól közelíti.

Példaként vizsgáljunk meg egy  $1/2$  spinű részecskét 3D-s anharmonikus oszcillátor potenciálban. A rendszerünket leíró Hamiltoni:

$$\mathcal{H} = \frac{1}{2} (p_x^2 + p_y^2 + p_z^2) + x^4 + \frac{1}{2} y^4 + \frac{1}{10} z^4 + 12x^2 y^2 + 14x^2 z^2 + 16y^2 z^2 + r^2 z(ax + by) + cr \vec{L} \vec{S}, \quad (5.5)$$

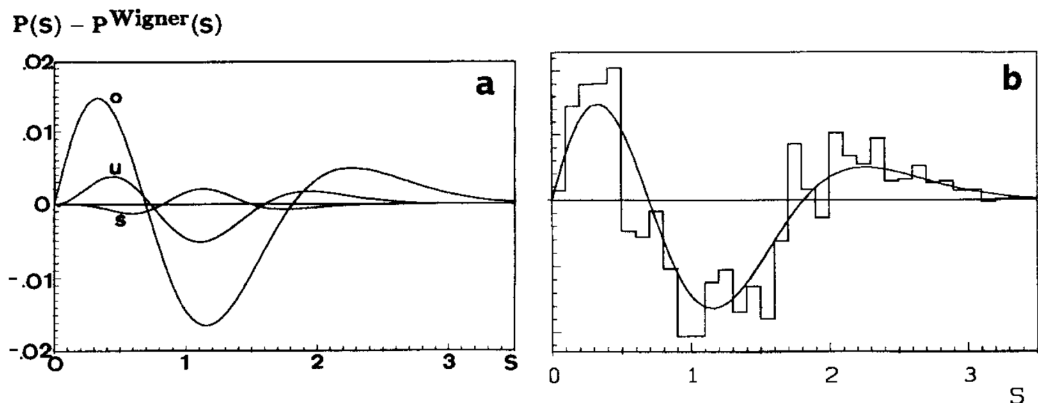
ahol  $r = \sqrt{x^2 + y^2 + z^2}$ . A rendszer viselkedését az  $a$  és  $b$  paraméterek határozzák meg.  $a = b = 0$  esetén három reflexiós szimmetria van az  $xy$ ,  $xz$  és  $yz$  síkoknak megfelelően. Ebben az esetben  $\mathcal{H}$  mártixa valós lesz. Így a rendszer a GOE osztályba tartozik, a spin-pálya kölcsönhatás ellenére. Amennyiben  $a$  vagy  $b$  különbözik nullától, az egyik reflexiós szimmetria megszűnik, és így (a spin-pálya kölcsönhatás jelenlétében) a rendszer GUE osztályhoz fog tartozni. Amennyiben egyik paraméter sem nulla, a korábbi szimmetriák megszűnnek, és végül GSE rendszert kapunk. Ezt szemlélteti az 5.1. ábra. Megfigyelhető, hogy a három sokaságnál lényegesen különböző a közeli szintek tasztítása, ami megfelel annak, hogy kicsi  $s$ -re  $p(s) \sim s^\beta$ .





5.1. ábra. 3D-s anharmonikus oszcillátor szinttávolság statisztikája: (a)  $a = 0, b = 0$ ; (b)  $a = 0, b \neq 0$ ; (c)  $a \neq 0, b \neq 0$ . A folytonos görbék rendre a GOE, GUE, és GSE számolásoknak felelnek meg.

Az 5.2.(a) ábrán az egzakt szinttávolság eloszlás és az (5.4) közelítést ábrázoltuk mindhárom sokaságra. A legnagyobb eltérés a GOE esetén figyelhető meg, de itt sem nagyobb, mint 2%. A másik két sokaság esetén pedig 1% alatti az eltérés. Az 5.2.(b) ábrán a rúgdosott pörgettyűk osztályából látható egy példa, amik az ún. Floquet rendszerek közé tartoznak. Itt az energiák szerepét kvázi-energiák veszik át, ezek eloszlását mutatja az ábra. Belátható, hogy a konzervatív és a Floquet rendszerek szinttávolság eloszlása azonos a nagy  $N$ -ek limeszében.



5.2. ábra. (a) Az egzakt szinttávolság eloszlás eltérése a Wigner-eloszlástól a három gausszi sokaságra. (b) Numerikus igazolás GOE sokaságra (rúgdosott pörgettyű időtükrözési szimmetriával).

Bohigas, Giannoni és Schmit nevéhez fűződik az alábbi sejtés megfogalmazása (BGS-sejtés):

Klasszikusan kaotikus rendszerek energiaszintjei úgy oszlanak el, mint a megfelelő véletlen mátrixokból álló sokaság sajátértékei.

Amint láttuk, a szinttávolság statisztika pedig univerzális, vagyis a rendszer szimmetriái határozzák meg. Amennyiben van időtükrözési szimmetriája a rendszernek, akkor a GOE, ha ez sérül, akkor a GUE a megfelelő sokaság.

## 6. Integrálható és nemintegrálható rendszerek közti átmenet

A valós rendszerek többsége nemintegrálható vagy nem teljesen kaotikus, de rendelkezik egy kevert klasszikus fázistérrel. Ilyen rendszerekben a szinttávolság eloszlása a Poisson és a Wigner-féle viselkedés között van.

A fenomenológikus Brody-féle megközelítést mutatjuk be. Itt a taszítást jellemző  $\nu$  exponenst módosítjuk, amellyel átléphetünk az integrálhatóból a nemintegrálható tartományba. Feltételezzük, hogy a valószínűségi sűrűség

$$r(s) = As^\nu. \quad (6.1)$$

Hogy találjunk egy sajátértéket az  $s$  hosszú intervallumban, a szinttávolság eloszlást az alábbi egyenletből határozzuk meg

$$p(s) ds = \left( \int_0^\infty p(s) ds \right) r(s) ds. \quad (6.2)$$

Az egyenlet annak a  $p(s) ds$  valószínűséget fejezi ki, hogy a sajátértéket egy adott sajátérték mellett,  $s$  és  $s + ds$  közti tartományban találjuk. Ezt a valószínűséget írjuk fel szorzatként. Az első tényező annak a valószínűsége, hogy a következő sajátérték az  $s$ -nél nagyobb tartományba esik. A második tényező pedig annak a valószínűsége, hogy a sajátértékeket az  $s$  és  $s + ds$  közti tartományban találjuk. Innen integrálással adódik, hogy

$$p(s) = Cr(s) \exp \left( - \int_0^s r(s') ds' \right). \quad (6.3)$$

Ezt visszahelyettesítjük a (6.1) egyenletbe és figyelembe vesszük a normálási feltételeket

$$\int_0^\infty p(s) ds = 1, \quad (6.4)$$

$$\int_0^\infty sp(s) ds = 1, \quad (6.5)$$

így kapjuk a Brody-eloszlást

$$p(s) = (\nu + 1)a_\nu s^\nu \exp(-a_\nu s^{\nu+1}), \quad (6.6)$$

ahol

$$a_\nu = \left[ \Gamma \left( \frac{\nu + 2}{\nu + 1} \right) \right]^{\nu+1}, \quad (6.7)$$

$$\Gamma(\nu) = \int_0^\infty x^{\nu-1} e^{-x} dx. \quad (6.8)$$

$\nu$  a Brody paraméter.  $\nu = 0$  esetén a Poisson-eloszlást,  $\nu = 1$ -re pedig a GOE sokaságra vonatkozó Wigner-eloszlást kapjuk vissza. Így a Brody-eloszlás felfogható, mint egy interpoláció az integrálható és nemintegrálható tartomány között. Sajnos a levezetésnek van egy hiányossága. A (6.2) egyenlet jobb oldalán a valószínűsgeknek függetlennek kell lenni. Ez  $\nu = 0$  esetén igaz csak. Viszont a többi esetben maximum kvalitatív állításként kezelhető.

## 7. Időben periódikus rendszerek

A spektroszkópikus technikák alapja az oszcilláló elektromos és mágneses mezők alkalmazása, pl. NMR, ESR, vagy lézer spektroszkópia. Ezekben közös, hogy a Hamiltoni időben periódikus

$$\mathcal{H}(t) = \mathcal{H}_0 + V(t), \quad (7.1)$$

ahol  $\mathcal{H}_0$  a mag vagy az atom Hamiltonija, és  $V(t) = V(t+\tau)$  írja le a csatolást az oszcilláló térrel. Ekkor az energia is változik időben. De  $\mathcal{H}$  még mindig invariáns az időeltolással szemben. Jelöljük  $\psi_n(x, t)$ -vel a  $T_\tau$  operátorral szimultán sajátfüggvényeket:

$$T_\tau \psi_n(x, t) = \psi_n(x, t + \tau) = \lambda_n \psi_n(x, t). \quad (7.2)$$

Hogy a megoldás stacionárius legyen,  $\lambda_n$  csak egységnyi abszolútértékű komplex szám lehet

$$\psi_n(x, t + \tau) = e^{i\phi_n} \psi_n(x, t) \quad (7.3)$$

Ezzel ekvivalens megfogalmazás

$$\psi_n(x, t) = e^{i\omega_n t} u_n(x, t), \quad (7.4)$$

ahol  $u_n(x, t)$  periodikus időben,  $u(x, t + \tau) = u(x, t)$ , és  $\omega_n = \phi_n/\tau$ . Ez a Floquet-tétel, ami a szilfizből ismert Bloch-tétellel analóg. A képlet alapján bevezethetjük az alábbi kvázi-energiát

$$\bar{E}_n = \hbar\omega_n = \frac{\hbar}{\tau}\phi_n. \quad (7.5)$$

A  $\phi_n$  Floquet-fázis egy  $2\pi$ -vel szorzott egész szám erejéig határozatlan, a kvázi-energiák pedig  $\hbar/\tau$ -val szorzott egész szám erejéig. Konvencionálisan Floquet-rendszerekben az első Brillouin-zónát a

$$\left[ -\frac{\hbar}{2\tau}, \frac{\hbar}{2\tau} \right]$$

tartományba vesszük fel. Az  $U(t)$  időfejllesztő operátort az alábbi egyenlet definiálja

$$\psi(x, t) = U(t)\psi(x, 0). \quad (7.6)$$

Visszahelyettesítve az időfüggő Schrödinger-egyenletbe, kapjuk, hogy

$$i\hbar\dot{U} = \mathcal{H}U, \quad (7.7)$$

amelyet az  $U(0) = 1$  kezdeti feltétellel kell megoldanunk. Abból, hogy a Hamiltoni hermitikus, azonnal következik, hogy  $U$  unitér. A (7.6) egyenlet alapján belátható, hogy

$$U(n\tau) = [U(\tau)]^n. \quad (7.8)$$

Stroboszkópikus megfigyelés ( $t = n\tau, n = 0, 1, \dots$ ) esetén elég  $U(\tau)$ -t ismerni. Mivel  $U(\tau)$  unitér, diagonalizálható az

$$U = V^\dagger U_D V \quad (7.9)$$

transzformációval, ahol  $U_D$  diagonális mátrix és

$$(U_D)_{nm} = e^{i\phi_n}. \quad (7.10)$$

$U$  sajátfázisai egzaktul megegyeznek a Floquet-fázisokkal. Így a Floquet-rendszerek tanulmányozása  $U(\tau)$  sajátfázisainak vizsgálatára redukálódik. Ezt az operátor a továbbiakban Floquet-operátornak hívjuk, és  $F$ -fel jelöljük.

Példaként vizsgáljunk egy periodikusan rúgdosott rendszert, amelynek Hamiltonija

$$\mathcal{H} = \mathcal{H}_0 + V_0 \sum_n \delta(t - n\tau). \quad (7.11)$$

A Dirac-delta függvényt  $\Delta\tau$  széles és  $(\Delta\tau)^{-1}$  magas téglappal közelítjük, azaz

$$\mathcal{H}(t) = \begin{cases} \mathcal{H}_0 & n\tau < t < (n+1)\tau - \Delta\tau \\ \mathcal{H}_0 + \frac{1}{\Delta\tau} V_0 & (n+1)\tau - \Delta\tau < t < (n+1)\tau \end{cases}. \quad (7.12)$$

Ekkor  $0 < t < \tau - \Delta\tau$ -ra

$$U(t) = \exp\left(-\frac{i}{\hbar} \mathcal{H}_0 t\right), \quad (7.13)$$

és  $\tau - \Delta\tau < t < \tau$ -ra

$$U(t) = \exp\left[-\frac{i}{\hbar} \left(\mathcal{H}_0 + \frac{1}{\Delta\tau} V_0\right) (t - \tau + \Delta\tau)\right] U(\tau - \Delta\tau), \quad (7.14)$$

ahonnan az  $F = U(\tau)$  Floquet-operátor

$$\begin{aligned} F &= \lim_{\Delta\tau \rightarrow 0} \exp\left[-\frac{i}{\hbar} \left(\mathcal{H}_0 + \frac{1}{\Delta\tau} V_0\right) \Delta\tau\right] \exp\left(-\frac{i}{\hbar} \mathcal{H}_0 (\tau - \Delta\tau)\right) = \\ &= \exp\left(-\frac{i}{\hbar} V_0\right) \exp\left(-\frac{i}{\hbar} \mathcal{H}_0 \tau\right). \end{aligned} \quad (7.15)$$

Szimmetria szempontok alapján három esetet különböztetünk meg.

- a) Floquet rendszerekre, ha van időtükrözési szimmetria és nincs spin-pálya kölcsönhatás, a Floquet-operátor mátrixa szimmetrikus.
- b) Amennyiben az időtükrözési szimmetria mellett van spin-pálya kölcsönhatás is, akkor a Floquet-operátor mátrixa önduális, azaz  $F^R = Z F^T Z^{-1} = F$ .

- c) Ha nincs időtükrözési szimmetria és spin-pálya kölcsönhatás sem, akkor  $F$ -ről csak annyit tudunk, hogy unitér.

Új sokaságokat vezethetünk be. Ehhez olyan transzformációkat kell keresnünk, amelyek megőrzik a mátrixok fenti tulajdonságát. Az ezeknek megfelelő transzformációk ( $U, V$  unitér):

- a)  $S$  szimmetrikus marad, ha

$$S' = USU^T. \quad (7.16)$$

Azon ortogonális mátrixokból álló sokaságot, amely invariáns marad ezen transzformációra, cirkuláris ortogonális sokaságnak (COE) hívjuk.

- b)  $S$  önduális marad, ha

$$S' = USU^R. \quad (7.17)$$

Azon önduális mátrixokból álló sokaságot, amely invariáns marad ezen transzformációra, cirkuláris szimplektikus sokaságnak (CSE) hívjuk.

- c)  $S$  unitér marad, ha

$$S' = USV^T. \quad (7.18)$$

Azon unitér mátrixokból álló sokaságot, amely invariáns marad ezen transzformációra, cirkuláris unitér sokaságnak (CUE) hívjuk.

A cirkuláris elnevezés oka:  $F$  sajátértékei a komplex sík egységnyi sugarú körén helyezkednek el.

Belátható, hogy a sajátfázisok együttes eloszlása

$$P(\phi_1, \dots, \phi_n) \sim \prod_{n>m} |e^{i\phi_n} - e^{i\phi_m}|^\nu, \quad (7.19)$$

COE esetén  $\nu = 1$ ,  
CUE esetén  $\nu = 2$ ,  
CSE esetén  $\nu = 4$ .